



РусКрипто

XXVIII

НАУЧНО-ПРАКТИЧЕСКАЯ
КОНФЕРЕНЦИЯ



**От решёток Барнса–Уолла к стандарту:
текущий статус разработки
постквантовой схемы «Облепиха»**

Артём Кунинец

Криптограф-исследователь «КуАпп»

На Рускрипто 2025 была представлена «Облепиха» —
постквантовая схема цифровой подписи на решетках

Представлено на Рускрипто 2025:

- Конструкция схемы на основе задачи LIP
- Решетки Барнса-Уолла и алгоритм гауссовой выборки
- Предварительный анализ стойкости схемы и предварительные параметры

За прошедший год выполнена следующая работа:

- Разработано теоретическое доказательство стойкости
- Осуществлена переоценка параметров схемы
- Модифицированы алгоритмы схемы подписи

LIP (поиск)	Δ LIP $^{Q_0, Q_1}$ (различение)	ac- Δ LIP $^{Q_0, Q_1}$ (средний случай)
<p>Через базисы</p> <p>Дано: B, B'</p> $B' = OBU$ <p>Найти: $O \in O_n(\mathbb{R}), U \in GL_n(\mathbb{Z})$</p> <hr/> <p>Через квадратичные формы</p> <p>Дано: Q, Q'</p> $Q' = U^\top Q U$ <p>Найти: $U \in GL_n(\mathbb{Z})$</p>	<p>Дано:</p> $Q' \stackrel{\$}{\leftarrow} [Q_b]$ <p>где Q_0, Q_1.</p> <p>Найти: $b \in \{0, 1\}$</p>	<p>Дано: Q_0, Q_1, s и</p> $Q' \stackrel{\$}{\leftarrow} D_s([Q_b])$ <p>Найти: $b \in \{0, 1\}$</p>

Обозначения:

- $[Q] = \{ U^\top Q U \mid U \in GL_n(\mathbb{Z}) \}$ — класс эквивалентности квадратичной формы
- $D_s([Q])$ — гауссово распределение над формами из класса $[Q]$ с шириной s

Две решётки в конструкции схемы

Решётки Λ_S и Λ_Q соответствуют квадратичным формам S и Q

Решётка $\Lambda_{Q^{-1}}$ — дуальная Λ_Q

Λ_S

Используется в схеме подписи

- с её помощью **подписывается сообщение**
- существует алгоритм **гауссовой выборки**

Λ_Q

Используется в доказательстве стойкости

- S и Q^{-1} **изоморфны** над \mathbb{Q}_p и над \mathbb{R} , но необязательно над \mathbb{Q}
- $[S] \neq [Q^{-1}]$
- существует **плотная подрешётка**

Исходная решётка: решётка Барнса-Уолла BW_{2^n} размерности N с базисом $B(BW_{2^n})$,
 R — ее квадратичная форма

Λ_S

Решётка для подписи

Построение:

$$\Lambda_S = gBW_{2^n} \oplus (g+1)BW_{2^n}$$

Базис:

$$B(\Lambda_S) = \begin{pmatrix} gB(BW_{2^n}) & 0 \\ 0 & (g+1)B(BW_{2^n}) \end{pmatrix}$$

Квадратичная форма:

$$S = \begin{pmatrix} g^2R & 0 \\ 0 & (g+1)^2R \end{pmatrix}$$

Λ_Q

Решётка для стойкости

Построение:

$$\Lambda_{Q^{-1}} = BW_{2^n} \oplus g(g+1)BW_{2^n}$$

Базис:

$$B(\Lambda_{Q^{-1}}) = \begin{pmatrix} B(BW_{2^n}) & 0 \\ 0 & g(g+1)B(BW_{2^n}) \end{pmatrix}$$

Квадратичная форма:

$$Q^{-1} = \begin{pmatrix} R & 0 \\ 0 & g^2(g+1)^2R \end{pmatrix}$$

Шаг 1. Независимо сэмплируем

$$x_1 \xleftarrow{\$} D_{gBW_N, S} \quad x_2 \xleftarrow{\$} D_{(g+1)BW_N, S}$$

Шаг 2. Собираем итоговый вектор

$$x = (x_1, x_2) \in gBW_N \oplus (g+1)BW_N$$

Алгоритм гауссовой выборки	Сложность алгоритма	Статистическое расстояние	Сглаживающий параметр
Алгоритм Кляйна	$O(N^2)$	ε	$\eta_{\Sigma}(BW_N)$
n -уровневая квадратичная выборка	$O(N)$	2ε	$\eta_{\Sigma}((1+i)^n BW_1)$
Итеративная k -инговая выборка	$O\left(2^{\frac{1}{2} \log^2 N}\right)$	2ε	$\eta_{\Sigma}((1+i)^n BW_1)$

Случайное блуждание

- высокая скорость работы
- сложно обосновать стойкость

Почти равномерная генерация при помощи алгоритма Евклида

- теоретически случаен
- практически недееспособен

Генерация через HNF

- сочетается с доказательством стойкости
- реализуем на практике, но скорость низкая

Из рассмотренных методов **окончательный выбор** делается в пользу **генерации через HNF**

Генерация ключей

- Генерация формы $P \xleftarrow{\$} D_S[S]$ вместе с унимодулярной матрицей U
- Открытый ключ: P ; секретный ключ: U

Подпись

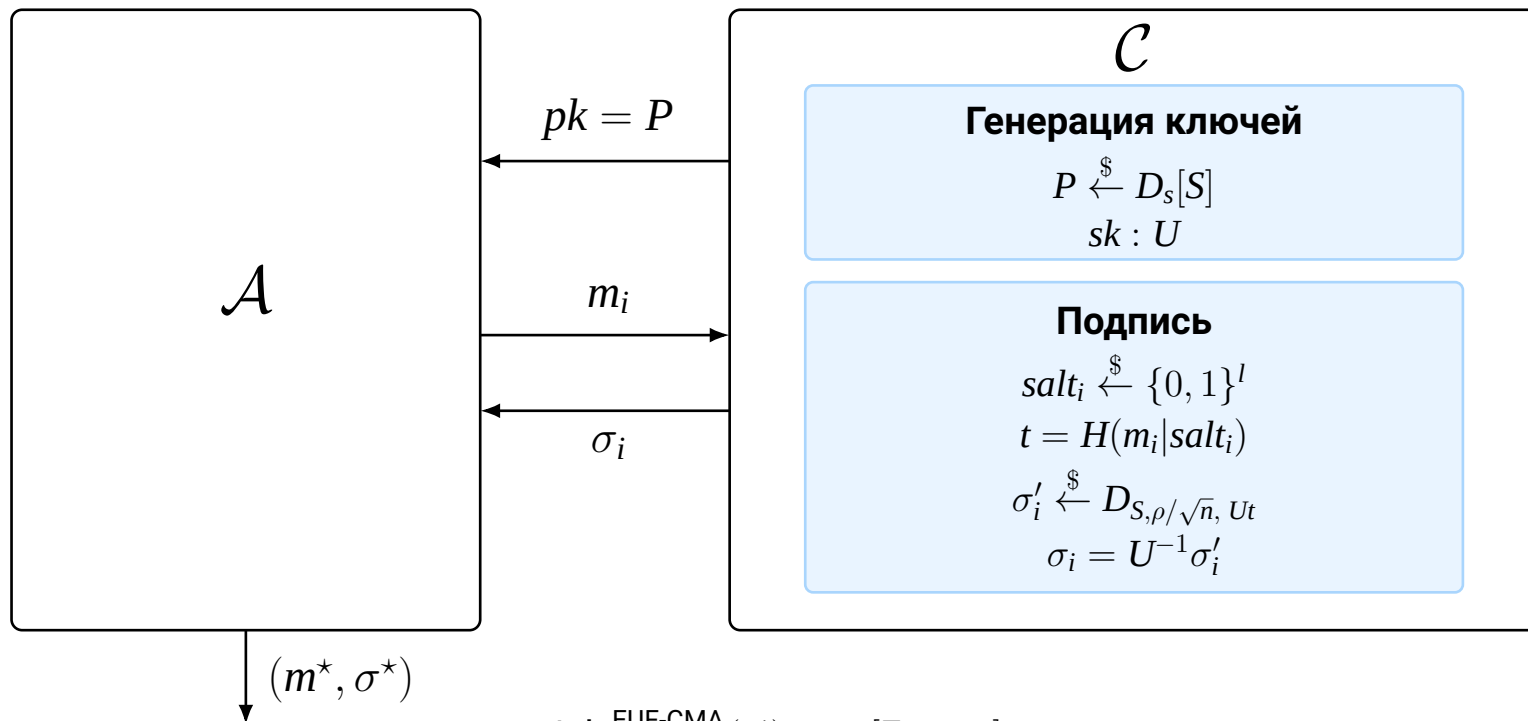
- Вычисляем $t = H(m|salt) \in \mathbb{T}_q$ — хэш сообщения
- Выбираем $\sigma_1 \xleftarrow{\$} D_{S, \rho/\sqrt{n}, Ut}$
- Подпись: $(\sigma = U^{-1}\sigma_1, salt)$

Проверка

- Вычисляем $t = H(m|salt)$
- Проверяем неравенство $\|\sigma - t\|_P \leq \rho$
- Если условие выполняется — подпись принимается

Теоретическое обоснование:

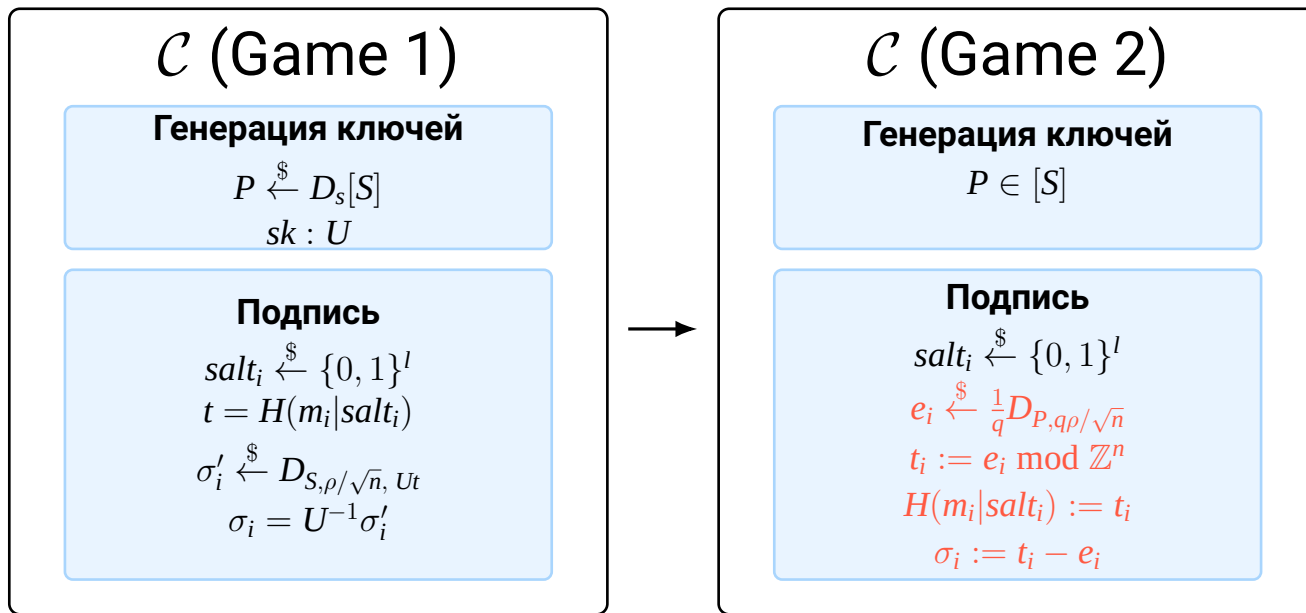
$Game_1$



$$\text{Adv}_{\Sigma}^{\text{EUF-CMA}}(\mathcal{A}) = \Pr[\text{Forge}_1]$$

Теоретическое обоснование:

$Game_1 \rightarrow Game_2$

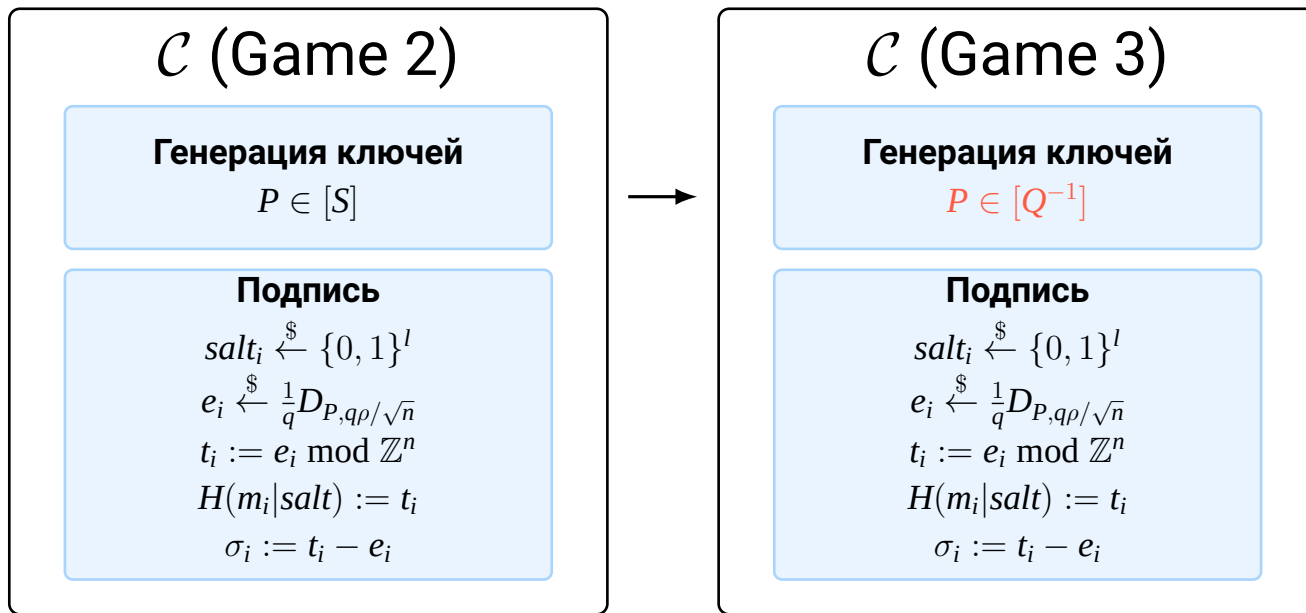


$$|\Pr[\text{Forge}_1] - \Pr[\text{Forge}_2]| \leq q_s \cdot \varepsilon_{\text{smooth}} + \varepsilon_{\text{RO}}$$

$$\varepsilon_{\text{RO}} \leq \left(q_s q_h + \frac{q_s^2}{2} \right) \cdot 2^{-\ell}$$

Теоретическое обоснование:

$Game_2 \rightarrow Game_3$



$$|\Pr[\text{Forge}_2] - \Pr[\text{Forge}_3]| \leq \text{Adv}_{\text{ac-}\Delta\text{LIP}^{S, Q^{-1}}}(\mathcal{B})$$

$$\Pr[\text{Forge}_3] \leq 2^{-N}$$

Теоретическое обоснование: ИТОГОВАЯ ОЦЕНКА

$$\begin{aligned} \text{Adv}_{\mathcal{A}}^{\text{EUF-CMA}} &\leq \underbrace{|\Pr[\text{Forge}_1] - \Pr[\text{Forge}_2]|}_{\text{вероятность обнаружения симуляции}} \\ &\quad + \underbrace{|\Pr[\text{Forge}_2] - \Pr[\text{Forge}_3]|}_{\text{Adv}_{\mathcal{B}}^{\text{ac-}\Delta\text{LIP}}} \\ &\quad + \underbrace{\Pr[\text{Forge}_3]}_{\text{вероятность подписи в разреженной решетке}} \\ &\quad + \underbrace{\frac{(q_h + q_s)^2}{2q^{2N}}}_{\text{вероятность коллизии}} \end{aligned}$$

$$\text{Adv}_{\Sigma}^{\text{EUF-CMA}}(\mathcal{A}) \leq q_s \cdot \varepsilon_{\text{smooth}} + \left(q_s q_h + \frac{q_s^2}{2} \right) \cdot 2^{-\ell} + \text{Adv}_{\text{ac-}\Delta\text{LIP}^{s, Q-1}}(\mathcal{B}) + \frac{(q_h + q_s)^2}{2q^{2N}} + 2^{-N}$$

Простое решение Δ -LIP

Если у двух классов решёток различаются **легко вычисляемые инварианты**, то задачу различения можно решить тривиально

Арифметические инварианты

- определитель
- род решётки
- чётность
- НОД коэффициентов

вычисляются эффективно

Геометрические инварианты

- минимумы решетки
- контактное число
- Тета-ряды $\Theta_Q(q) = \sum_{l \geq 0} N_l q^l$,
 $N_l = |\{x_Q \in \mathbb{Z}^n : \|x\|_Q = l\}|$

вычисляются сложно

Для решёток Λ_S и Λ_Q **арифметические инварианты специально выбраны совпадающими**, поэтому задачу Δ -LIP нельзя решить просто

Hull-атаки

- Решётки Барнса-Уолла размерности $N = 2^n$ для чётных n устойчивы к hull-атакам¹
- Решётки Λ_S также устойчивы

Оценка стойкости схемы

- практическая стойкость оценивается через **сложность решения SVP**
- размер блока BKZ оценивается в модели **Core-SVP**
- для оценок используются эвристики для случайных решёток

Уровень	$\dim \Lambda_S$	g	s_{pk}	s_{sig}	ρ	q	Секр. ключ, КБ	Откр. ключ, КБ	Подпись, КБ
192	1024	31	798	233	7456	50	1053	2195	721

[1] Kuninets A. et al. On the construction of Barnes-Wall lattices and their application in cryptography
//Cryptology ePrint Archive. – 2025

Сделано

- разработано формальное доказательство стойкости в модели **ROM**
- произведён практический анализ стойкости схемы
- определены параметры схемы «**Облепиха**»

Дальнейшая работа

- разработка теоретического доказательства стойкости в модели **QROM**
- уменьшение размера **подписи** и **открытого ключа**
- уточнение практических параметров с учётом специфики решёток, используемых в схеме



Артём Кунинец

Криптограф-
исследователь



Антон Леевик

Криптограф-
исследователь



Екатерина Малыгина

Криптограф-
исследователь
к.ф.-м.н.



Евгений Мельничук

Криптограф-
исследователь

Спасибо за внимание!



Артём Кунинец

Криптограф-исследователь «КуАпп»

akuninec@tech.com

@Arkraft



qapp.tech